

進行波による單一粒子の残留速度について

大阪府立工業高等専門学校 正員 平山秀夫
 三和建設 田中隆久
 村本建設 吉岡正弘

1. はしがき：これまで、進行波動中におりる質量輸送の問題は、Stokes や Longuet-Higgins をはじめ Russell and Osorio などの多くの研究者によって理論と実験の両面からかなりの研究がなされてきたが、特に最近、土屋・岡村は非回転非粘性の波動の場における質量輸送速度を、有限振幅波理論における波速の定義の問題を踏まえて論じ、少なくとも Stokes 波の通用限界内では、波速の ω_2 定義に基づく質量輸送速度は、波速の ω_1 定義に基づく結果に比べて実験値とかなりよく説明できることを示した。その後、著者の一人は、沈降速度を有する單一粒子の挙動を通して、それによる付加残留速度の出現を提示するとともに、その付加残留速度を考慮することによって、波速の ω_2 定義に基づく結果が、單一粒子の残留速度の実験値をより一層説明できることを示したが、中には、造波してから測定開始するまでの時間などの実験条件の違いによって両者にかなりの差異があることなども若干の実験例を指摘した。本研究では、このような実験条件の違いによって、どの程度單一粒子の残留速度に差異が生じてくるのかを実験的に表明するとともに、本実験のように端部を有する、いわゆる普通の水槽内では、どのような理論が実験値に最もよく適合するかなどについても議論する。さらに、従来ほとんど論じられていない鉛直方向の残留速度の分布特性についても若干の検討を加える。

2. 実験装置・実験方法・解析方法：実験は前報の場合と全く同様に、水槽端部に消波工を設置した長さ 21m、幅 70cm、高さ 1m の片面ガラス張り水槽を用いて行った。実験の方法は、造波して波高がほぼ定常状態になる 7 波目と 100 波目の場合に分けて、水表面の波峰の位置から單一粒子（粒径 2.0mm、沈降速度 2.5 cm/sec）を水中に投入し、その挙動をストロボを照射して写真撮影した。実験条件は、水深 $h = 49.5$ cm で、周期 $T = 1.0, 1.5, 2.0$ sec の各場合について波高 $H = 5 \sim 15$ cm の間で適当に変化させ、かつ測定位置を鉛直方向に 3ヶ所変化させた。解析方法は、このようにして得られた木ガムルムから、フィルムモーションアナライザを用いて、單一粒子の速度が $U=0, W=w_{max}$ と考えられる位置を 1 周期ごとに読みとり、これら的位置の座標を用いて、單一粒子の水平および鉛直方向の残留速度を算定した。

3. 実験結果および考察：(1) 単一粒子の沈降速度による付加残留速度：波動理論とレペル速度の ω_2 定義に基づく Stokes 波の ω_2 近似解を用いて、すでに示した方法によって單一粒子の水平および鉛直方向の残留速度 $\bar{U}_{2,2}, \bar{W}_{2,2}$ を求めれば、それそれ次式のようになる。

$$\begin{aligned} \bar{U}_{2,2} = & \frac{1}{2} C_F^2 \cosh 2k(h+\bar{z}) + \frac{1}{2} C_E^2 \cosh 4k(h+\bar{z}) + \frac{\alpha H^2}{8h} \coth kh \left\{ -F_1 \cosh k(h+\bar{z}) \sin k\bar{z} - F_2 \cosh 2k(h+\bar{z}) \cdot \cos 2k\bar{z} \right\} \\ & + w_f \left\{ F_1 \sinh k(h+\bar{z}) \cosh k\bar{z} - F_2 \sinh 2k(h+\bar{z}) \sin 2k\bar{z} \right\} - \frac{\alpha H^2}{8h} \coth kh \end{aligned} \quad (1)$$

$$\bar{W}_{2,2} = -w_f + w_f \left\{ F_1 \cosh k(h+\bar{z}) \sin k\bar{z} + F_2 \cosh 2k(h+\bar{z}) \cos 2k\bar{z} \right\} + \frac{\alpha H^2}{8h} \coth kh \left\{ F_1 \sinh k(h+\bar{z}) \cosh k\bar{z} - F_2 \sinh 2k(h+\bar{z}) \sin 2k\bar{z} \right\} \quad (2)$$

一方、波速の ω_1 意義に基いて Stokes 波の ω_3 次近似解 (Skjelbreia の解) を用いれば、水平および鉛直方向の残留速度 $\bar{U}_{1,3}$, $\bar{W}_{1,3}$ は、それぞれ次式のように求められる。

$$\begin{aligned} \bar{U}_{1,3} &= \frac{1}{2} C_F^2 \cosh 2k(h+\bar{x}) + \frac{1}{2} C_E^2 \cosh 4k(h+\bar{x}) + \frac{1}{2} C_T^2 \cosh 6k(h+\bar{x}) \\ &+ w_f \left\{ F_F \sinh k(h+\bar{x}) \cos k\bar{x} - F_E \sinh 2k(h+\bar{x}) \cdot \sin 2k\bar{x} \right. \\ &\quad \left. - F_T \sinh 3k(h+\bar{x}) \cdot \cos 3k\bar{x} \right\} \end{aligned} \quad (3)$$

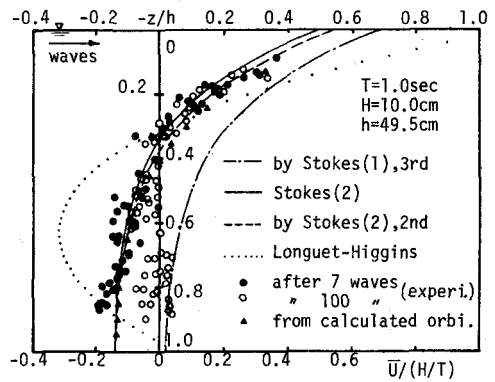
$$\begin{aligned} \bar{W}_{1,3} &= -w_f + w_f \left\{ F_F \cosh k(h+\bar{x}) \cdot \sin k\bar{x} + F_E \cosh 2k(h+\bar{x}) \cos 2k\bar{x} \right. \\ &\quad \left. - F_T \cosh 3k(h+\bar{x}) \cdot \sin 3k\bar{x} \right\} \end{aligned} \quad (4)$$

ただし、上式 (1) ~ (4) 中の F_F ~ F_T は、それそれ H および kH の関数で、 $k = 2\pi/\lambda$, $C = 4/T$, λ は波長である。

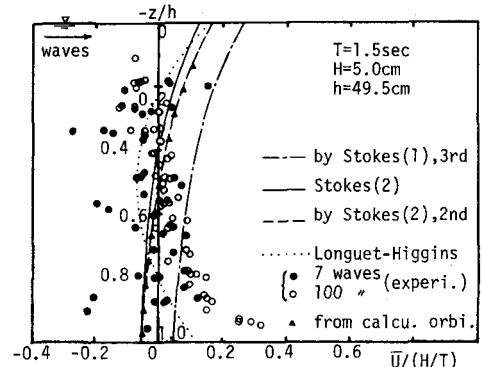
2) 残留速度にに関する理論値と実験値の比較:

図-1 (1), (2) は、以上に示した水平方向の残留速度の理論値と Longuet-Higgins の Conduction sol. の結果と、実験値と差分法による運動軌跡から求められた結果 (図中 ▲ 印) と比較したものである。これらの図から明らかなように、一般的には 7 波目の結果は、式 (1) の曲線に非常によく合致する場合が多いが、100 波目の場合には、どちらかと言えば、底面付近で、Longuet-Higgins の結果に類似してくるようである。一方、図-2 (1), (2) は、鉛直方向の残留速度について実験値と理論値を比較したもので、この図から、單一粒子の 1 周期平均の残留速度は、波高が大きく、かつ水表面に近いほど静水中的沈降速度の値からかなり分散することがわかる。このように、残留速度の実験値が、かなり分散し、時空間的に変動性の著しい特性を有するといふことは、底質の浮遊機構を解明する上で非常に重要なことである。

最後に、本研究を行ったあたり、終始、暖かい御指導を賜わった岩垣雄一教授、少助吉と賀陽和也、土屋義人教授および酒井裕輔教授に心から感謝の意を表すとともに、本研究は文部省科学研究費自然災害特別研究 (代表者: 岩垣雄一教授) による研究の一部であることを付記し、謝意を表す。

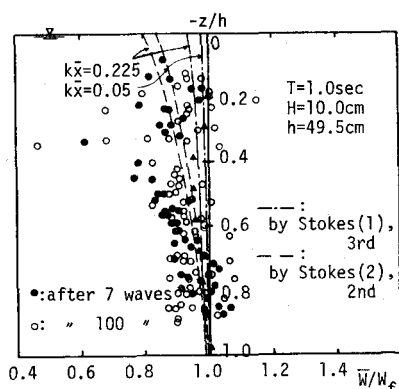


(1) $T/Vg/h = 4.5$ の場合

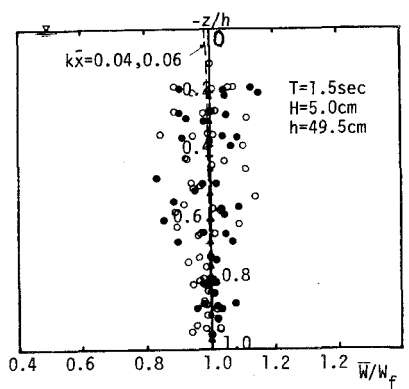


(2) $T/Vg/h = 6.7$ の場合

図-1 単一粒子の水平残留速度



(1) $T/Vg/h = 4.5$ の場合



(2) $T/Vg/h = 6.7$ の場合

図-2 単一粒子の鉛直残留速度